

研究简报

# 光滑公式

朱学煜<sup>1)</sup>  
(洛阳农机学院)

## 摘要

本文提出了光滑公式应满足的条件及三个新的光滑公式。

在数据处理(一维情况)中通常使用三点光滑公式。设连续函数  $x = f(t)$  的离散取样值为

$$x_1, x_2, \dots, x_n \quad (1)$$

光滑后的数据为  $x^* = f^*(t)$ , 对应的离散值为

$$x_1^*, x_2^*, \dots, x_n^* \quad (2)$$

并且有光滑公式

$$\begin{aligned} x_1^* &= (x_1 + x_2)/2, \quad x_i^* = (x_{i-1} + x_i + x_{i+1})/3, \\ x_n^* &= (x_{n-1} + x_n)/2, \quad (1 < i < n) \end{aligned} \quad (3)$$

根据定积分性质, 可将公式(3)转换成

$$x^* = f^*(t) = \frac{1}{a} \int_{t-a/2}^{t+a/2} f(u) du, \quad (a > 0) \quad (4)$$

$a$  为平均范围。

## 一、理论分析

公式(4)具有下面三条性质: 1)  $a \rightarrow 0$  时,  $x^* = x$ ; 2)  $x = f(t) = \text{常数}$  时,  $x^* = x$ ; 3)  $x = f(t) = t$  时,  $x^* = x$ 。因为积分是线性运算, 由 2) 及 3) 立即得到当  $x = At + B$  时,  $x^* = x$ 。因为  $x = At + B$  为线性函数, 所以有较好的光滑性。上述三条基本性质可以规定为光滑公式都应具备的条件。

为什么(4)式能起到光滑的功能呢? 经频谱分析, 可以看出(4)式相当于低通滤波器。设:

$$F(\omega) = \int_{-\infty}^{+\infty} e^{-j\omega u} f(u) du, \quad (5)$$

$$F^*(\omega) = \int_{-\infty}^{+\infty} e^{-j\omega u} f^*(u) du. \quad (6)$$

本文于1981年1月16日收到。

1) 洛阳农机学院赵正芳同志帮助制图, 特此致谢。

将(4)式代入(6),经过化简得到:

$$F^*(\omega) = F(\omega) \sin(a\omega/2)/(a\omega/2), \quad (7)$$

$$F^*(\omega) = (e^{j\omega a/2} - e^{-j\omega a/2})F(\omega)/aj\omega. \quad (8)$$

由(8)得到:

$$\begin{aligned} F(\omega) &= F^*(\omega)aj\omega/(e^{j\omega a/2} - e^{-j\omega a/2}) = F^*(\omega)aj\omega e^{-j\omega a/2}/(1 - e^{-j\omega a}) \\ &= aj\omega(e^{-j\omega a/2} + e^{-j\omega \frac{3}{2}a} + \dots + e^{-j\omega \frac{2k+1}{2}a} + \dots)F^*(\omega). \end{aligned} \quad (9)$$

由富氏变换的基本性质,得到复原公式:

$$\begin{aligned} f(t) &= a \frac{d}{dt} \left( f^* \left( t - \frac{a}{2} \right) + f^* \left( t - \frac{3}{2}a \right) + \dots + f^* \right. \\ &\quad \left. \times \left( t - \frac{2x+1}{2}a \right) + \dots \right). \end{aligned} \quad (10)$$

复原公式(10)给出了由光滑后数据恢复原数据的方法.

由(7),得振幅谱为:

$$|F^*(\omega)| = |F(\omega)| \left| \sin \frac{a}{2} \omega \right| \left| \frac{a}{2} \omega \right|. \quad (11)$$

由(11)可知,(4)式相当于低通滤波器(其中  $\sin \frac{a}{2} \omega / \frac{a}{2} \omega$  ( $a = \pi$ ) 和  $\omega$  的关系见图

1). 因此,能起光滑作用. 又由于(11)式的因子  $\left| \sin \frac{a}{2} \omega \right| \left| \frac{a}{2} \omega \right|$  侧向泄漏大,并按  $\frac{1}{\omega}$  衰减(衰减较慢). 为了克服此缺点,本文提出新的光滑公式:

$$\hat{x} = \hat{f}(t) = \frac{1}{2 \sin \frac{a}{2}} \int_{t-\frac{a}{2}}^{t+\frac{a}{2}} \cos(u-t) f(u) du. \quad (12)$$

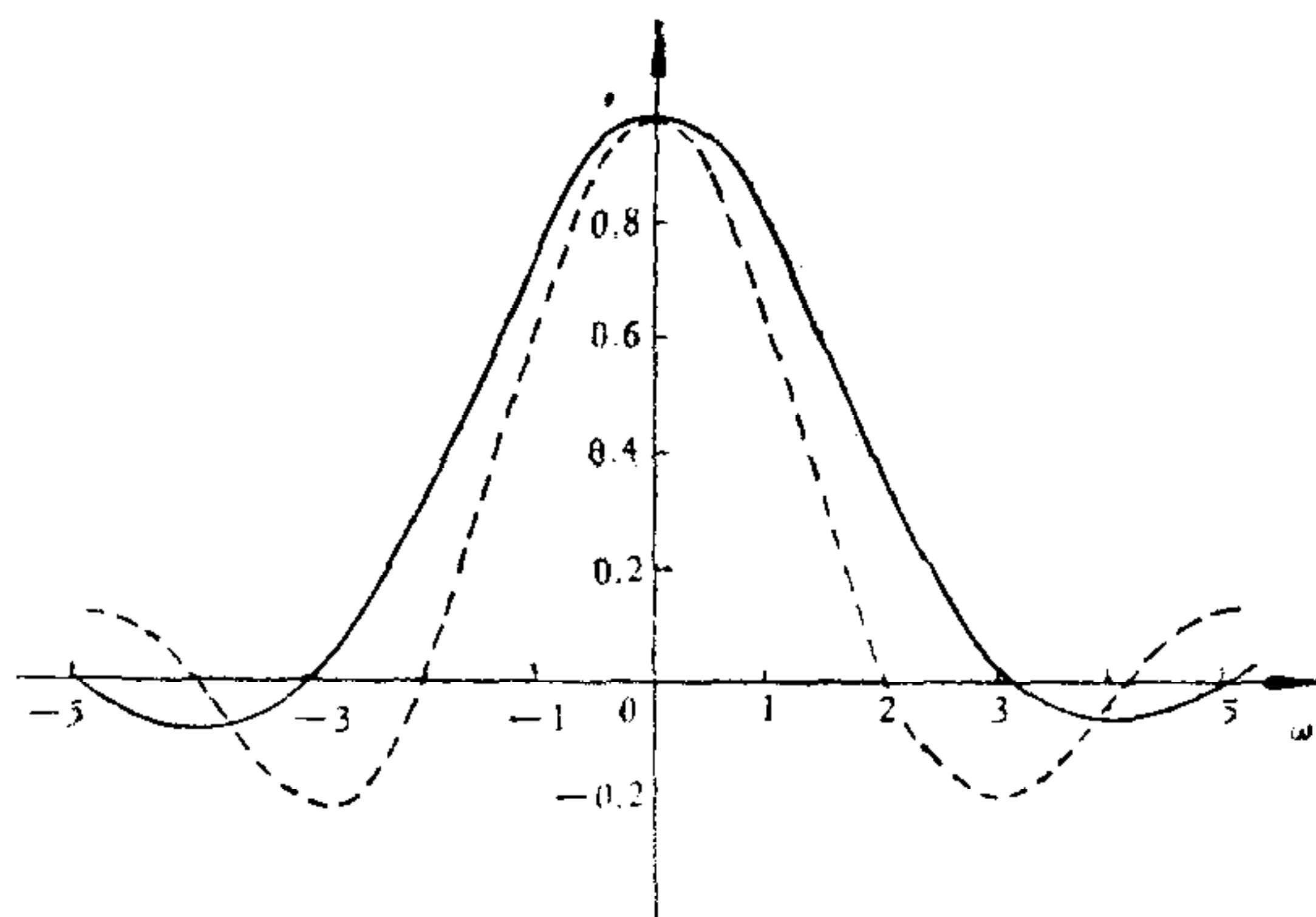


图 1

$$\text{—} \cos \frac{\pi}{2} \omega / (1 - \omega^2); \text{---} \sin \frac{\pi}{2} \omega / \frac{\pi}{2} \omega$$

## 二、新的光滑公式

显然(12)式具有与(4)式相同的三条基本性质. 当  $a = \pi$  时,对(12)式进行频谱分

析:

$$\begin{aligned} \hat{F}(\omega) &= \int_{-\infty}^{+\infty} e^{-j\omega u} \left\{ \frac{1}{2} \int_{u-\frac{\pi}{2}}^{u+\frac{\pi}{2}} \cos(v-u) f(v) dv \right\} du \\ &= F(\omega) \left( \cos \frac{\pi}{2} \omega \right) / (1 - \omega^2). \end{aligned} \quad (13)$$

$\cos \frac{\pi}{2} \omega / (1 - \omega^2)$  和  $\sin \frac{\pi}{2} \omega / \frac{\pi}{2} \omega$  与  $\omega$  的关系见图 1. 由于

$$\left| \cos \frac{\pi}{2} \omega / (1 - \omega^2) \right|$$

按  $\frac{1}{\omega^2}$  衰减, 测向泄漏小, 衰减速度快, 因此式(12)比(4)的光滑效果好. 根据(12)式建议用三点公式(14)(在式(12)中取  $a = \pi$ , 离散化时取  $\cos(-\frac{\pi}{4})$ ,  $\cos 0$ ,  $\cos(\frac{\pi}{4})$ , 利用加权系数之和为 1, 便得到公式(14))和五点公式(15)(式(12)中, 取  $a = \pi$ ,  $\cos(-80^\circ)$ ,  $\cos(-40^\circ)$ ,  $\cos 0$ ,  $\cos(40^\circ)$ ,  $\cos(80^\circ)$ , 并利用加权系数之和为 1, 便得到公式(15))代替通常的光滑公式(3).

$$\hat{x}_1 = (x_1 + x_2)/2; \hat{x}_i = 0.3x_{i-1} + 0.4x_i + 0.3x_{i+1}; \hat{x}_N = (x_{N-1} + x_N)/2; (1 < i < N). \quad (14)$$

$$\begin{aligned} \hat{x}_1 &= (x_1 + x_2)/2; \hat{x}_2 = (x_2 + x_3)/2; \hat{x}_i = 0.06x_{i-2} + 0.27x_{i-1} + 0.34x_i \\ &\quad + 0.27x_{i+1} + 0.06x_{i+2}; \hat{x}_{N-1} = (x_{N-2} + x_{N-1})/2; \\ \hat{x}_N &= (x_{N-1} + x_N)/2. \quad (2 < i < N - 1). \end{aligned} \quad (15)$$

从上面的频谱分析, 可见新公式(14)的效果要优于旧公式(3), 特别对于变化较快的数据更为显著, 见图 2 (原数据由两个为半周期的余弦波, 稍作修改拼接而成). 图 3 (原数据取自服从标准正态分布  $N(0, 1)$  的随机数表<sup>[2]</sup>). 由图 2 可看出新公式比旧公式优越. 由图(3)看出新公式比旧公式也有改进, 特别在  $t = 2, t = 8$  附近. 又由于从式

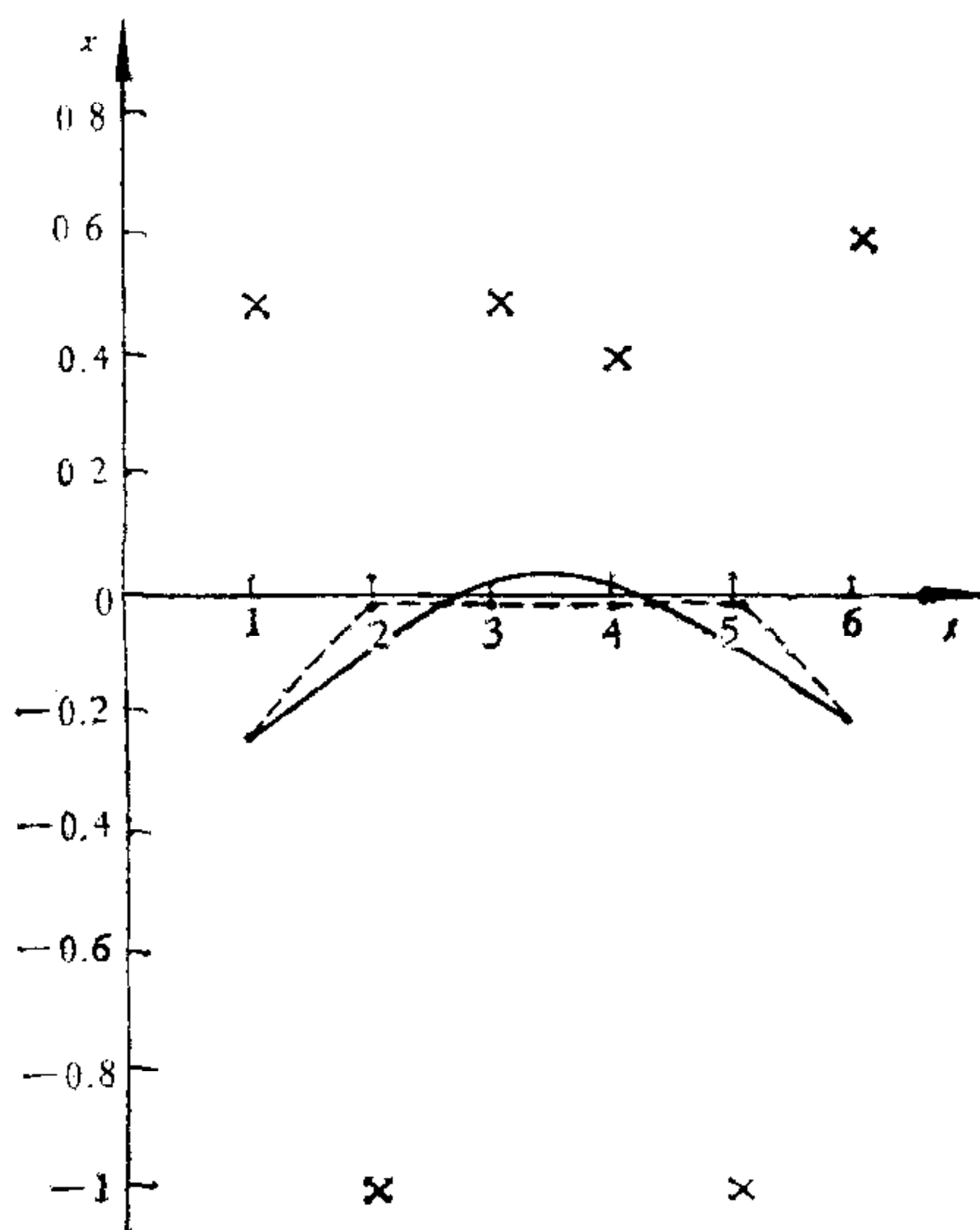


图 2

×原数据 —新公式 …旧公式

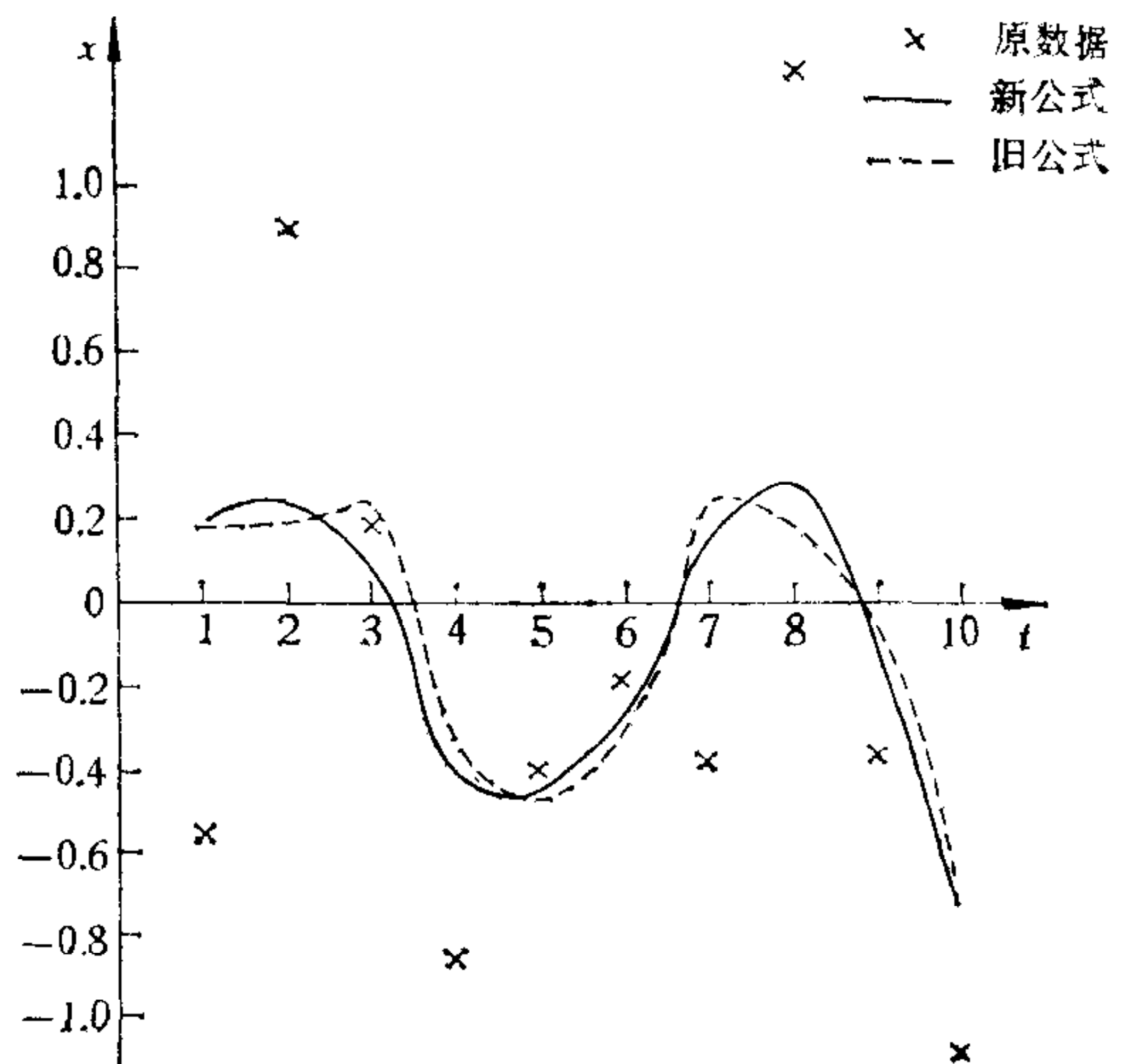


图 3

(12)得出式(14)时,固定  $a = \pi$  及特殊角度. 因此式(12)的灵活性更强,可以机动地应付更为广泛的实际情况.

由式(14),可推广到二维数据的光滑. 如取九点格式,由于  $(i, j)$  至  $(i + 1, j - 1)$  的距离为对角线,即为  $(i, j)$  至  $(i, j - 1)$  的  $\sqrt{2}$  倍,因此在  $(i + 1, j - 1)$ ,  $(i + 1, j + 1)$ ,  $(i - 1, j - 1)$ ,  $(i - 1, j + 1)$  四点上用 0.1 作加权系数.

$$\begin{aligned} \hat{x}(i, j) = & 0.025x(i - 1, j - 1) + 0.075x(i - 1, j) + 0.025x(i - 1, j + 1) \\ & + 0.075x(i, j - 1) + 0.6x(i, j) + 0.075x(i, j + 1) + 0.025 \\ & x(i + 1, j - 1) + 0.075x(i + 1, j) + 0.025x(i + 1, j + 1). \end{aligned} \quad (16)$$

式(16)作为改进的数字图象处理的光滑公式.

### 参 考 文 献

- [1] R. G. Brown, J. W. Nilsson, Introduction to Linear Systems Analysis. John Wiley and Sons, Inc., New York, 1962.  
 [2] F. Mostelley, R. K. Rourkn, G. B. Thomas, Probability with Statistical Applications (Second Edition). Addison-wesley Publishing Company, 1973.

## SMOOTHING FORMULAE

ZHU XUEYU

(Luoyang Institute of Agricultural Machinery)

### ABSTRACT

This paper deals with the condition of smoothing formulae and develops three new smoothing formulae.

### 第 8 卷 第 2 期更正

页	行	误	正
128	倒 11	……寄存点(…移存点)	……寄存器(……移存器)
128	倒 5	……多项式中,有最长……	……多项式中能得到最长……
135	倒 8	…… if ……	…… of ……